

morfologia = *lat. MORPHOLOGIA* dal *gr. MORPHÈ forma* (di cui taluno erroneamente pretende sia trasposizione il *lat. FÒRMA*, col quale combina soltanto nel significato) e *LÒGIA* = *LÒGOS discorso, trattato*.

Storia delle forme che può rivestire la materia; Trattato della conformazione esterna degli animali; Metamorfosi.

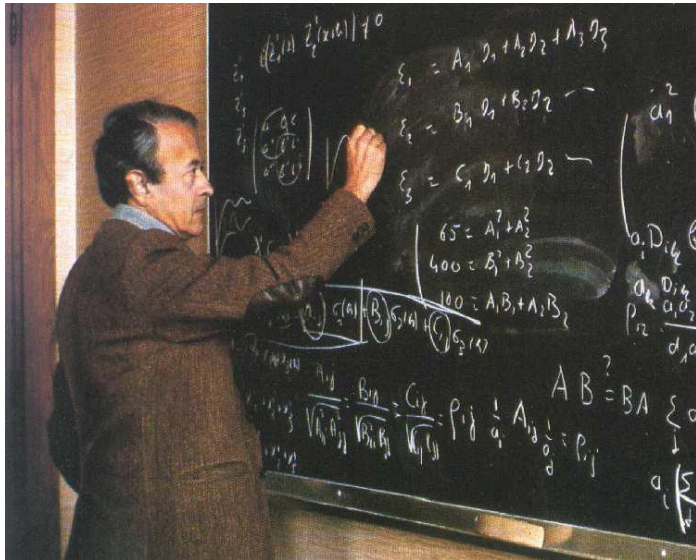
Cfr. *Amorfo*; *Polimorfo*; *Morfologico*.

L'analisi delle immagini si basa sulla forma e la struttura geometrica delle regioni di interesse. All'inizio le operazioni nell'ambito della morfologia matematica erano definite utilizzando opportune "operazioni" insiemistiche:

- si modificano le forme con operatori locali;
- alcuni operatori sono simili alla convoluzione ma utilizzano operazioni tra insiemi;
- utile per alcuni ambiti quali: enhancing di proprietà geometriche/strutturali, segmentazione, descrizione quantitativa,...

MM è nata a metà degli anni '60 in Francia alla Ecole des Mines de Paris, in Fontainebleau (alla Ecole des erano interessati all'analisi di dati geologici e relativi alla struttura dei materiali).

I maggiori contributi vennero da Georges Matheron e Jean Serra.



- Il nome 'Mathematical Morphology' pare sia stato coniato in un
- La tecnica è diventata nota internazionalmente in seguito ad un articolo di Haralick/Sternberg/Zhuang su PAMI in 1987

La teoria è stata inizialmente sviluppata per [immagini binarie](#), in seguito è stata estesa ad immagini a livelli di grigio attraverso insiemi di livello.

Alcuni concetti risalgono a Minkowski (1901), Birkhoff (1948) e Hawidger (1957).

Attualmente è compresa nelle teorie:

- Scale-space
- PDE-based filtering

Alcuni concetti risalgono a Minkowski (1901), Birkhoff (1948) e Hawidger (1957).

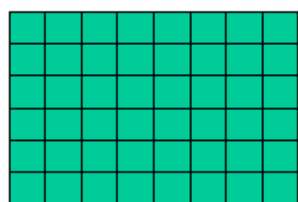
Attualmente è compresa nelle teorie:

- Scale-space
- PDE-based filtering

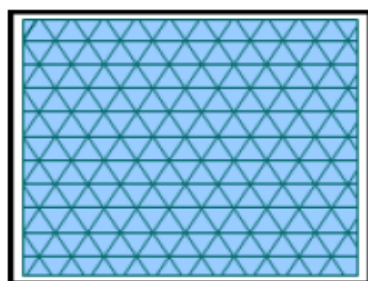
Fino ad ora una immagine (monocromatica) è stata definita come una funzione $I(x,y)$ a valori reali in due variabili reali (x,y) nel caso continuo o due variabili discrete $I(m,n)$.

Una alternativa a consiste nel considerare una immagine come una collezione (o insieme) di coordinate (continue o discrete) corrispondenti a punti o pixel appartenenti ad un oggetto dell'immagine stessa.

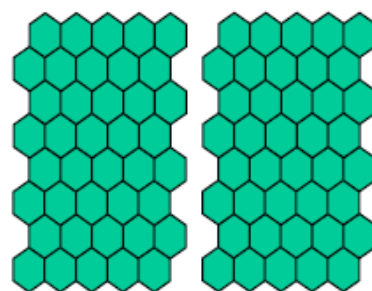
Quadrata



Triangolare



Esagonale



Basic Structures

Linear signal processing :

The basic structure in linear signal processing is the **vector space** i.e. a set of vectors V and a set of scalars K such that

- 1) - K is a field ;
- V is a commutative group
- 2) - There exists a multiplicative law between scalars and vectors.

Mathematical morphology :

The basic structure is a **complete lattice** i.e. a set \mathcal{L} such that:

- 1) \mathcal{L} is provided with a partial ordering, i.e. a relation \leq with

$$A \leq A$$

$$A \leq B, B \leq A \Rightarrow A = B$$

$$A \leq B, B \leq C \Rightarrow A \leq C$$

- 2) For each family of elements $\{X_i\} \in P$, there exists in \mathcal{L} :

a greatest lower bound $\wedge \{X_i\}$, called **infimum** (or inf.)

a smallest upper bound $\vee \{X_i\}$, called **supremum** (or sup.)

Basic Operations

Linear Signal Processing

Since the structure is that of a vector space, whose fundamental laws are **addition** and **scalar product**, then

The basic operations are those which preserve these laws, *i.e.* which commute under them:

$$\Psi(\sum \lambda_i f_i) = \sum \lambda_i \Psi(f_i)$$

The resulting operator is called **convolution**.

Mathematical Morphology

Since the Lattice structure lies on the ordering relation, on the sup and the inf, the basic operations are those which preserve these fundamental laws, namely

Ordering Preservation :

$$\{X \leq Y \Rightarrow \Psi(X) \leq \Psi(Y)\} \Leftrightarrow \text{increasingness}$$

Commutation under Supremum.:

$$\Psi(\vee X_i) = \vee \Psi(X_i) \Leftrightarrow \text{Dilation}$$

Commutation under Infimum:

$$\Psi(\wedge X_i) = \wedge \Psi(X_i) \Leftrightarrow \text{Erosion}$$

Examples of Lattices

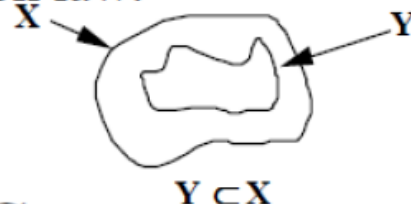
Lattice of **subsets** $P(E)$ of a set E :

The **partial** ordering is defined by the inclusion law:

Sup: \cup

Inf: \cap

Extremes: E, \emptyset



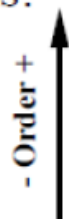
Lattices of real or integer **numbers**:

This **total** ordering is given by the succession of the values:

Sup: \vee (usual sense)

Inf: \wedge

Extremes: $-\infty, +\infty$

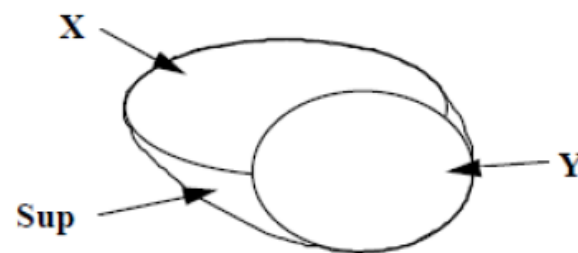


Lattice of **convex sets**:

The order is defined by the inclusion law:

Sup : Convex hull of the union

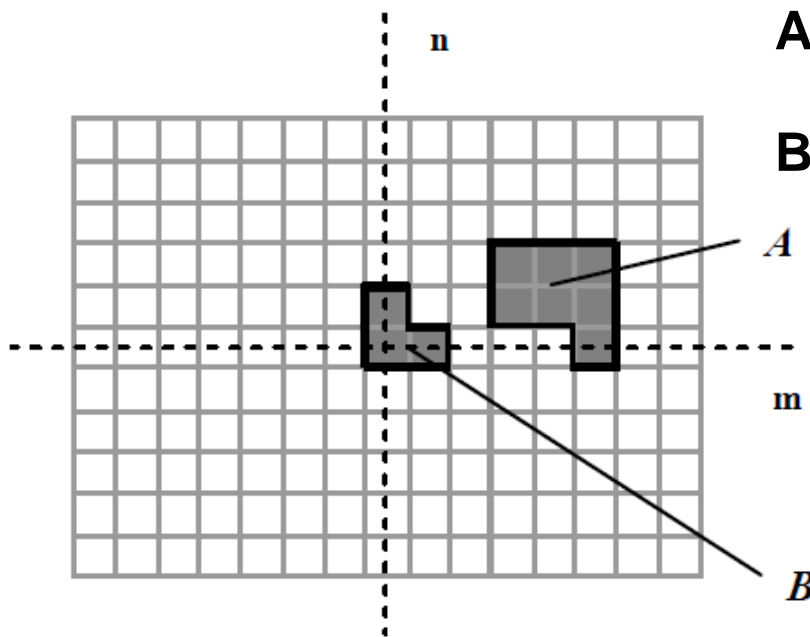
Inf : Intersection



Fino ad ora una immagine (monocromatica) è stata definita come una funzione $I(x,y)$ a valori reali in due variabili reali (x,y) nel caso continuo o due variabili discrete $I(m,n)$. Una alternativa a consiste nel considerare una immagine come una collezione (o insieme) di coordinate (continue o discrete) corrispondenti a punti o pixel appartenenti ad un oggetto dell'immagine stessa.

Riportiamo nella figura sottostante una immagine che contiene due oggetti o insiemi **A** e **B** (si noti che occorre fissare un sistema di coordinate).

Considerando immagini binarie restringiamo la discussione a sottoinsiemi dello spazio \mathbb{Z}^2 .



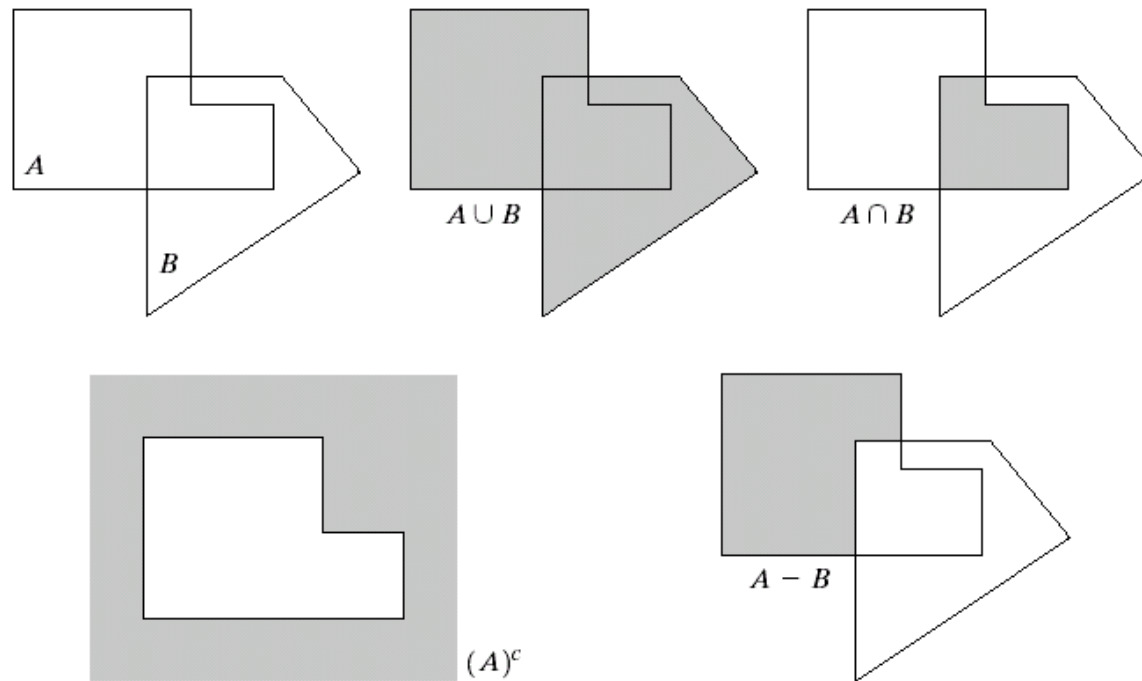
$$\mathbf{A} = \{(5,0), (3,1), (4,1), (5,1), (3,2), (4,2), (5,2)\}$$

$$\mathbf{B} = \{(0,0), (1,0), (0,1)\}$$

Potremmo definire gli oggetti come

$$\mathbf{A} = \{ (m,n) \text{ tale che } P(m,n) \text{ vera} \} \text{ dove}$$

P è una certa "proprietà".



| | | |
|---|---|---|
| a | b | c |
| d | e | |

FIGURE 9.1

(a) Two sets A and B . (b) The union of A and B . (c) The intersection of A and B . (d) The complement of A . (e) The difference between A and B .

Operazioni insiemistiche classiche, complementare \mathbf{A}^c di \mathbf{A} :

$$\mathbf{A}^c = \{ (x,y): (x,y) \notin \mathbf{A} \}$$

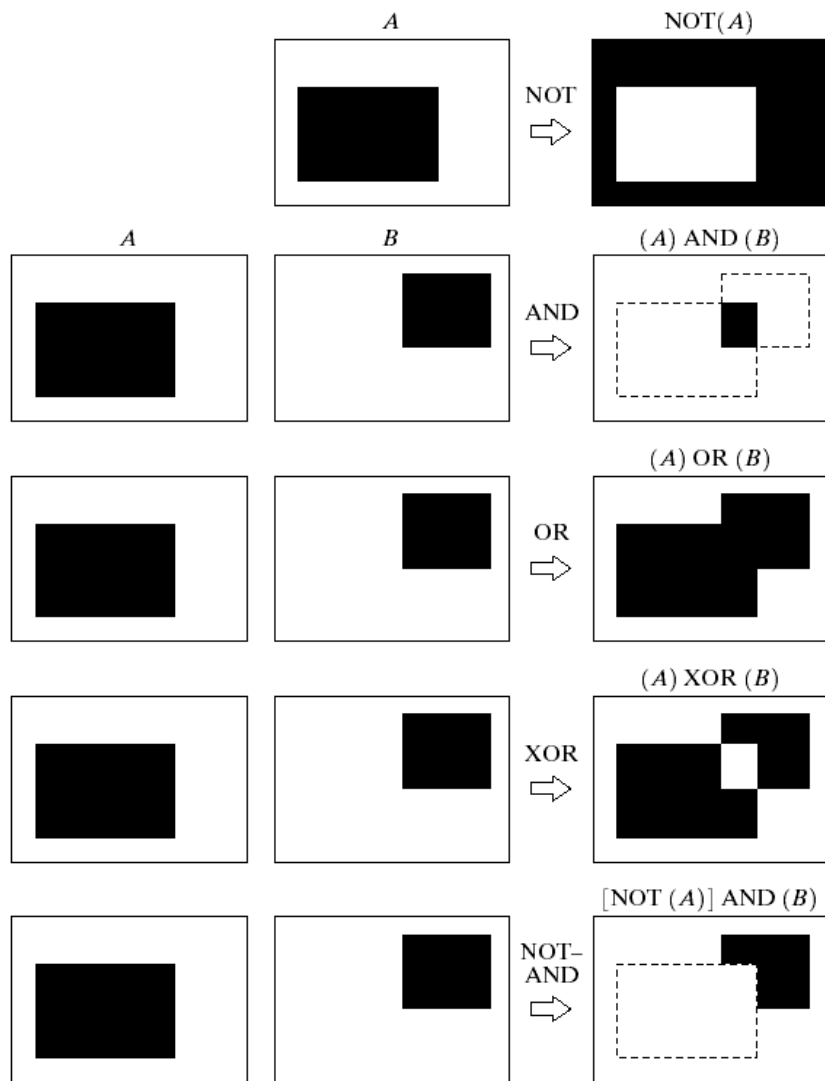


FIGURE 9.3 Some logic operations between binary images. Black represents binary 1s and white binary 0s in this example.

Operazioni logiche per immagini
Binarie: 1=nero, 0=bianco

TABLE 9.1
The three basic
logical operations.

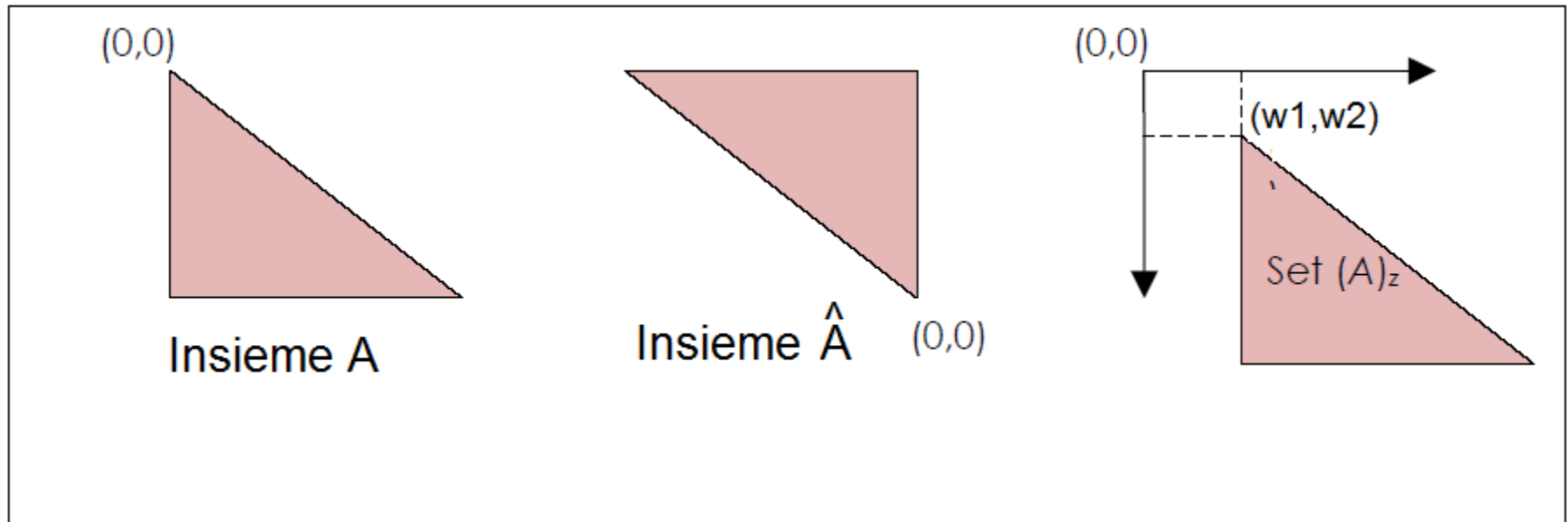
| p | q | $p \text{ AND } q$ (also $p \cdot q$) | $p \text{ OR } q$ (also $p + q$) | $\text{NOT}(p)$ (also \bar{p}) |
|-----|-----|--|-----------------------------------|-----------------------------------|
| 0 | 0 | 0 | 0 | 1 |
| 0 | 1 | 0 | 1 | 1 |
| 1 | 0 | 0 | 1 | 0 |
| 1 | 1 | 1 | 1 | 0 |

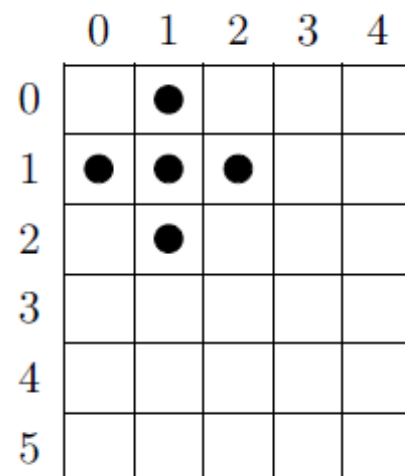
Siano, $\mathbf{A} \subset \mathbb{Z}^2$, $w=(w_1, w_2) \in \mathbb{Z}^2$, definisco la traslazione \mathbf{A}_w come

$$\mathbf{A}_w = \mathbf{A} + w = \{ c : c = a + w; \text{ con } a \in \mathbf{A} \}$$

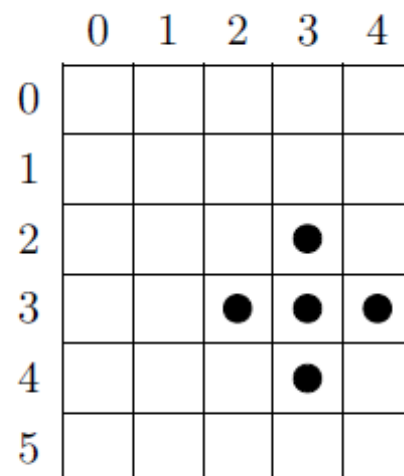
E la riflessione $\hat{\mathbf{A}}$ come:

$$\hat{A} = \{(-x, -y) : (x, y) \in A\}.$$



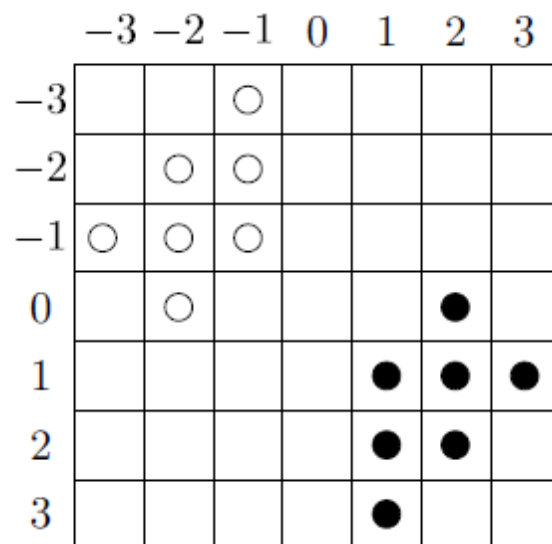


A



A_w

Traslazione



Riflessione

Le due trasformazioni morfologiche di base sono:

- *erosione*
- *dilatazione*

Consideriamo l'interazione tra A (oggetto di interesse) ed un insieme B detto “elemento strutturante” che caratterizzerà il cambiamento morfologico.

Operazioni insiemistiche di base:

Addizione di Minkowski -
$$A \oplus B = \bigcup_{\beta \in B} (A + \beta)$$

Sottrazione di Minkowski -
$$A \ominus B = \bigcap_{\beta \in B} (A - \beta)$$

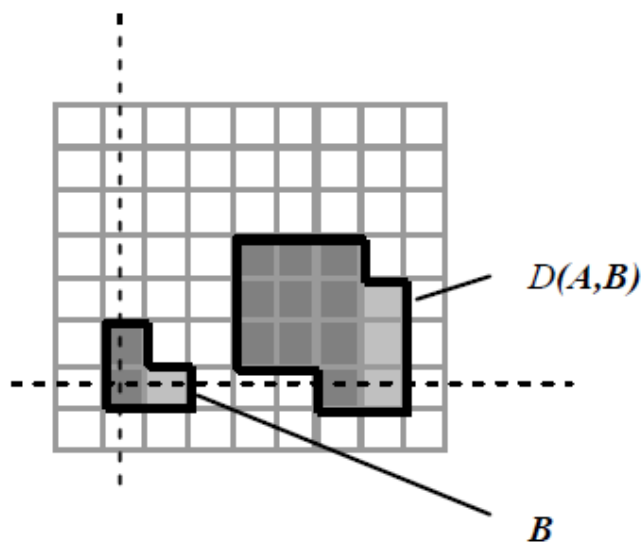
Dilatazione -

$$D(A, B) = A \oplus B = \bigcup_{\beta \in B} (A + \beta)$$

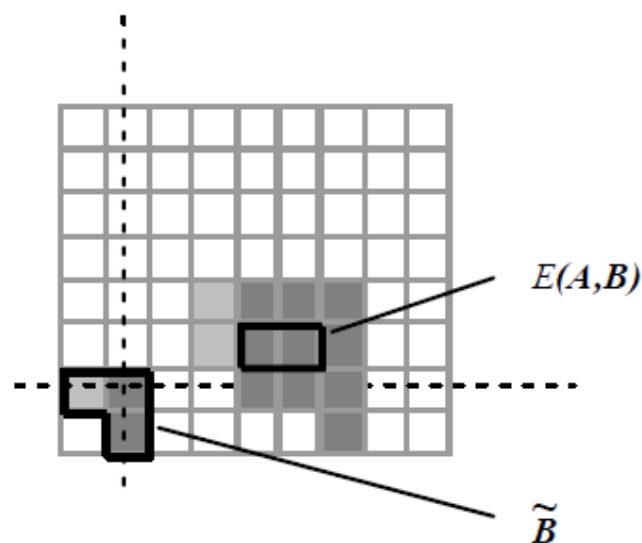
Erosione -

$$E(A, B) = A \ominus B = \bigcap_{\beta \in \tilde{B}} (A + \beta)$$

(si può scrivere utilizzando
la riflessione di B)



(a) Dilation $D(A, B)$

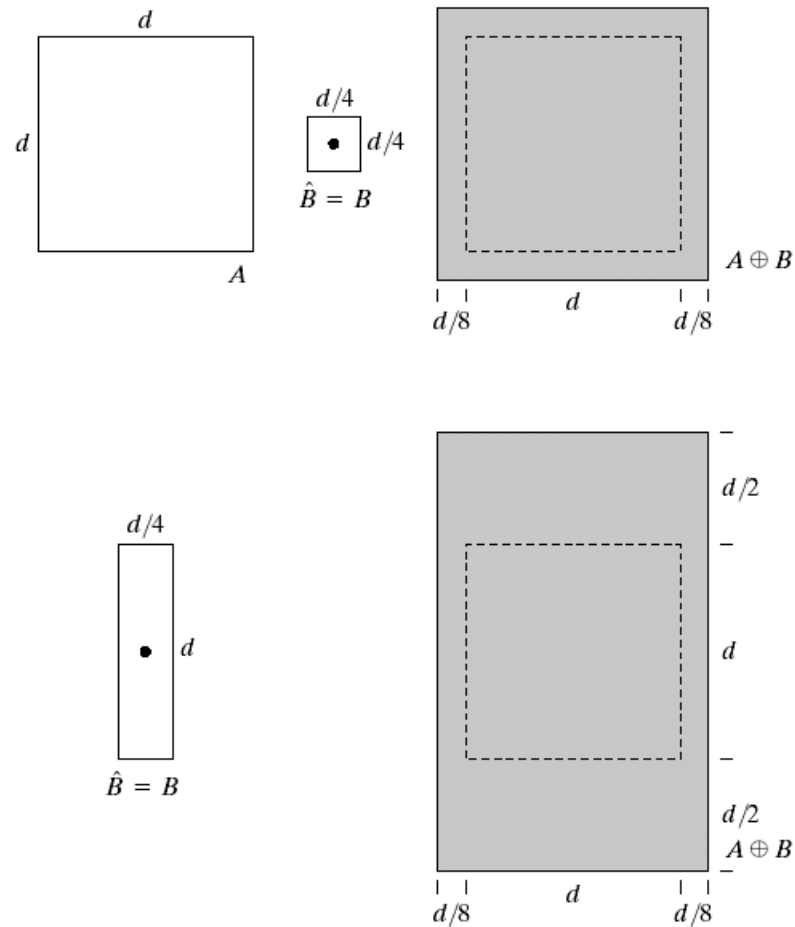


(b) Erosion $E(A, B)$

| | | |
|---|---|---|
| a | b | c |
| d | | e |

FIGURE 9.4

- (a) Set A .
 (b) Square structuring element (dot is the center).
 (c) Dilation of A by B , shown shaded.
 (d) Elongated structuring element.
 (e) Dilation of A using this element.



Dilatazione con diversi elementi strutturanti

| | 1 | 2 | 3 | 4 | 5 |
|---|---|---|---|---|---|
| 1 | | | | | |
| 2 | | ● | ● | | |
| 3 | | ● | ● | | |
| 4 | | ● | ● | | |
| 5 | | ● | ● | ● | |
| 6 | | | ● | ● | |
| 7 | | | | | |

A

| | -1 | 0 | 1 |
|----|----|---|---|
| -1 | ● | | ● |
| 0 | | ● | |
| 1 | ● | | ● |

B

| | 1 | 2 | 3 | 4 | 5 |
|---|---|---|---|---|---|
| 1 | | | | | |
| 2 | | ■ | ■ | | |
| 3 | | ■ | ● | ● | |
| 4 | | ■ | ● | ● | |
| 5 | | ■ | ● | ■ | |
| 6 | | | ● | ■ | ● |
| 7 | | | | ● | ● |

$A_{(1,1)}$

| | 1 | 2 | 3 | 4 | 5 |
|---|---|---|---|---|---|
| 1 | | | ● | ● | |
| 2 | | ■ | ■ | ● | |
| 3 | | ■ | ■ | ● | |
| 4 | | ■ | ● | ● | ● |
| 5 | | ■ | ■ | ● | ● |
| 6 | | | ■ | ■ | |
| 7 | | | | | |

$A_{(-1,1)}$

| | 1 | 2 | 3 | 4 | 5 |
|---|---|---|---|---|---|
| 1 | | | | | |
| 2 | | ■ | ■ | | |
| 3 | ● | ● | ■ | | |
| 4 | ● | ● | ■ | | |
| 5 | ● | ● | ■ | ■ | |
| 6 | ● | ● | ● | ■ | |
| 7 | | ● | ● | | |

$A_{(1,-1)}$

| | 1 | 2 | 3 | 4 | 5 |
|---|---|---|---|---|---|
| 1 | ● | ● | | | |
| 2 | ● | ● | ■ | | |
| 3 | ● | ● | ■ | | |
| 4 | ● | ● | ● | | |
| 5 | | ● | ● | ■ | |
| 6 | | | ■ | ■ | |
| 7 | | | | | |

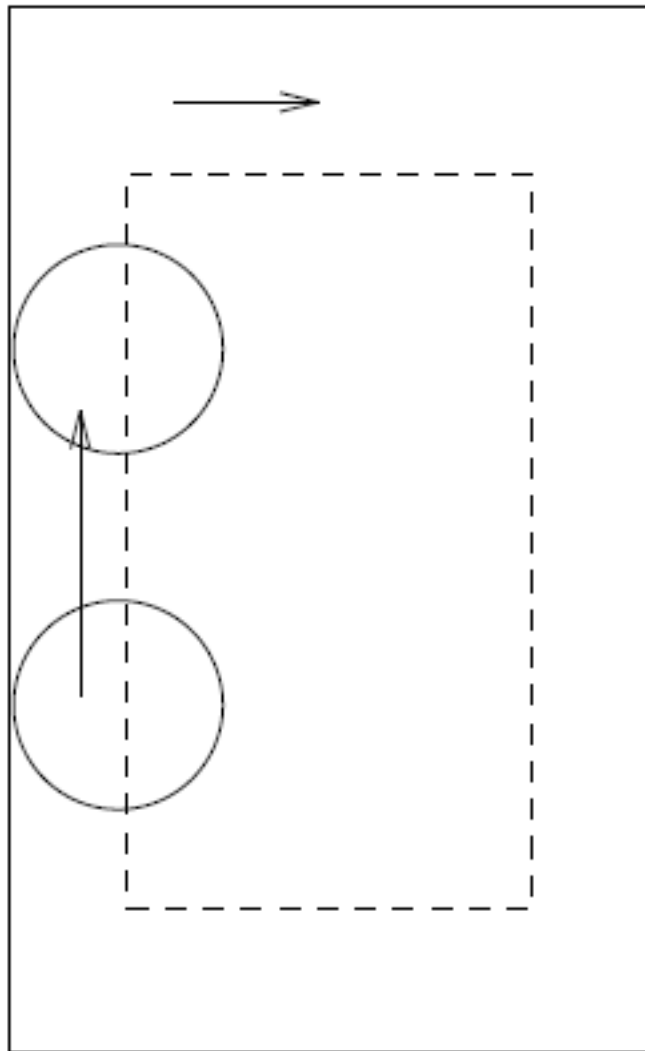
$A_{(-1,-1)}$

| | 1 | 2 | 3 | 4 | 5 |
|---|---|---|---|---|---|
| 1 | ● | ● | ● | ● | |
| 2 | ● | ■ | ■ | ● | |
| 3 | ● | ■ | ■ | ● | |
| 4 | ● | ■ | ■ | ● | ● |
| 5 | ● | ■ | ■ | ● | ● |
| 6 | ● | ● | ■ | ■ | ● |
| 7 | | ● | ● | ● | ● |

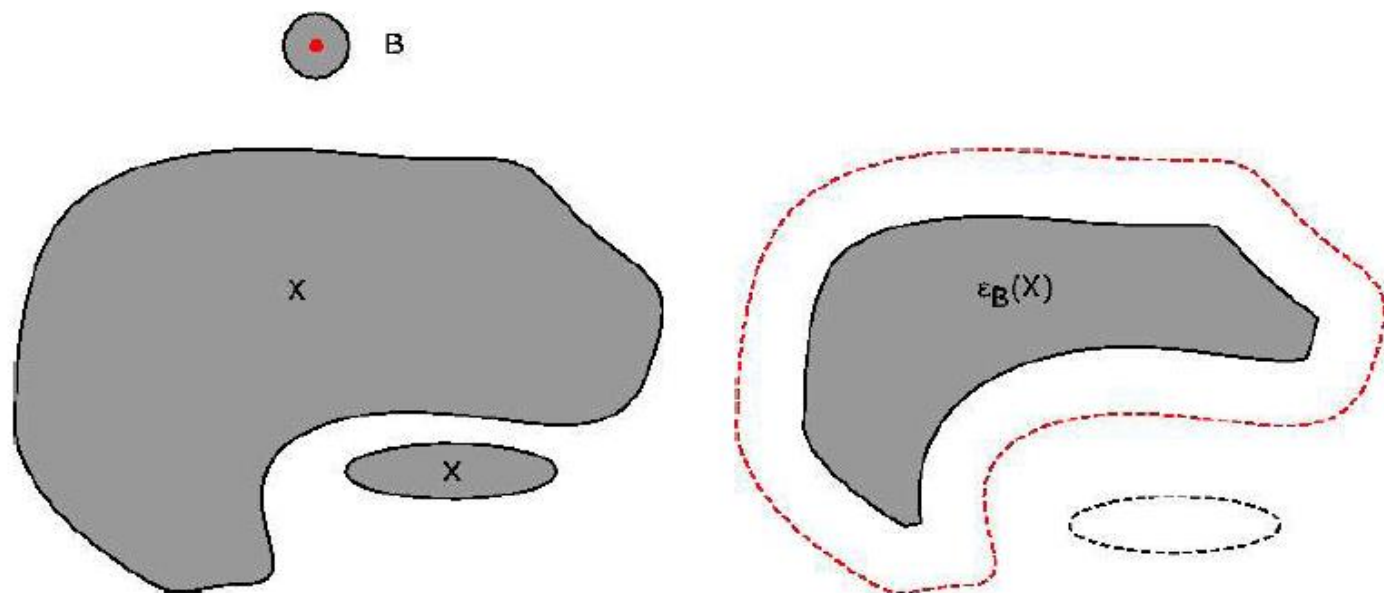
$A \oplus B$

Figure 9.3: Dilation

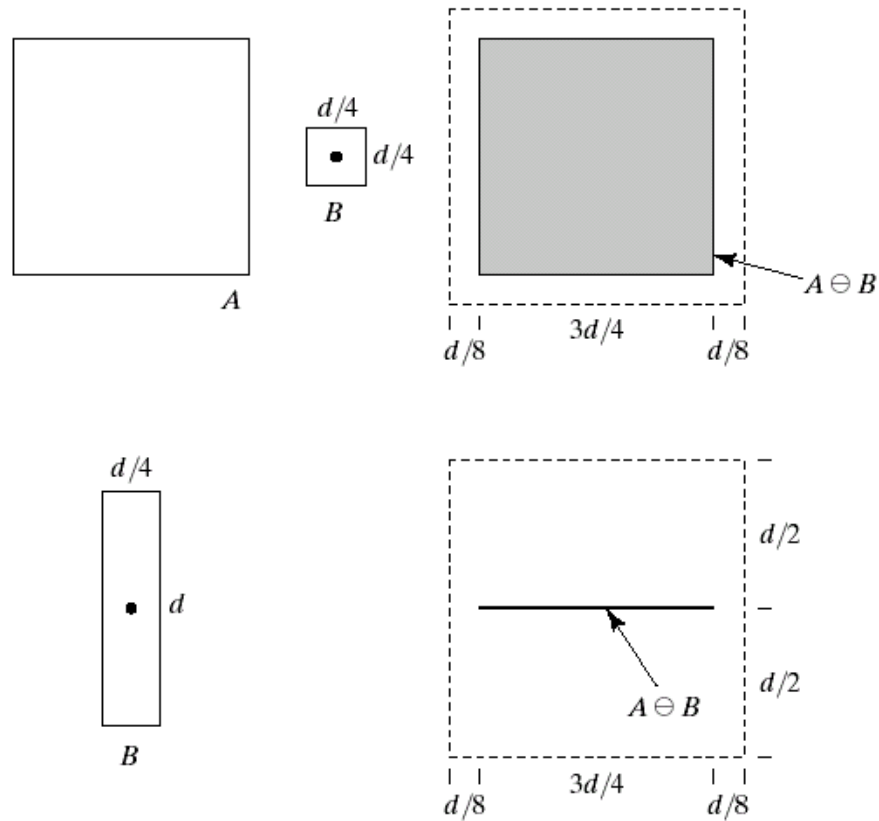
$$A \ominus B = \{x : B_x \subseteq A\}.$$



Erosione



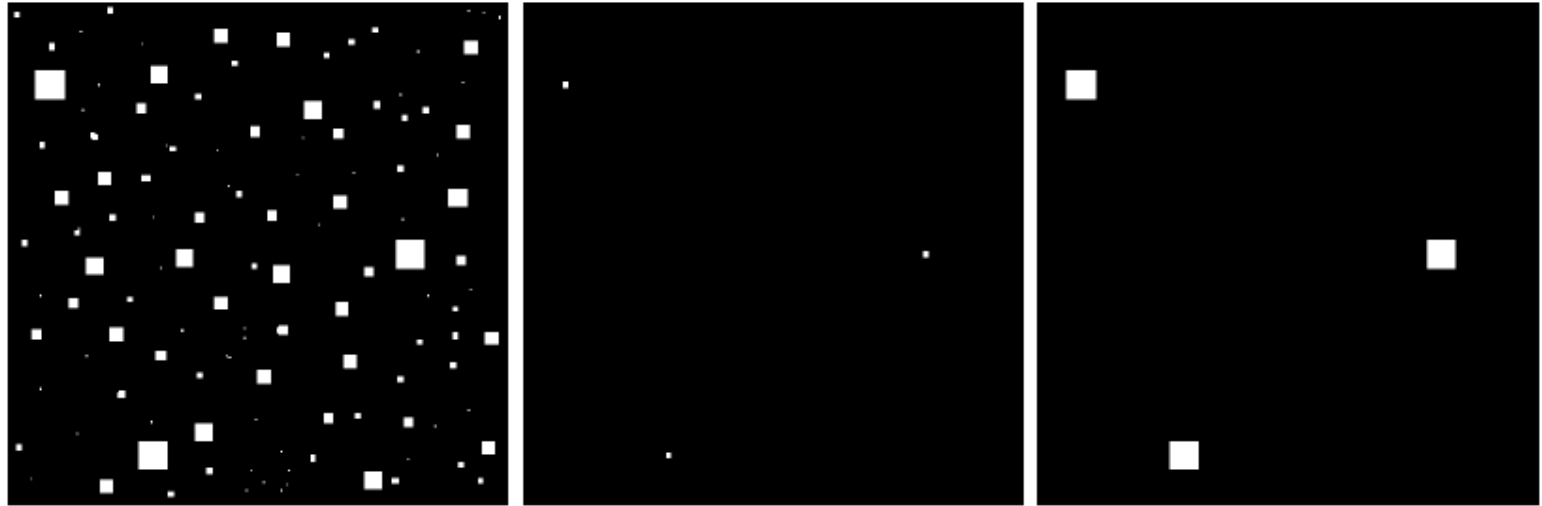
Erosione



| | | |
|---|---|---|
| a | b | c |
| d | | e |

FIGURE 9.6 (a) Set A . (b) Square structuring element. (c) Erosion of A by B , shown shaded. (d) Elongated structuring element. (e) Erosion of A using this element.

Erosione



a b c

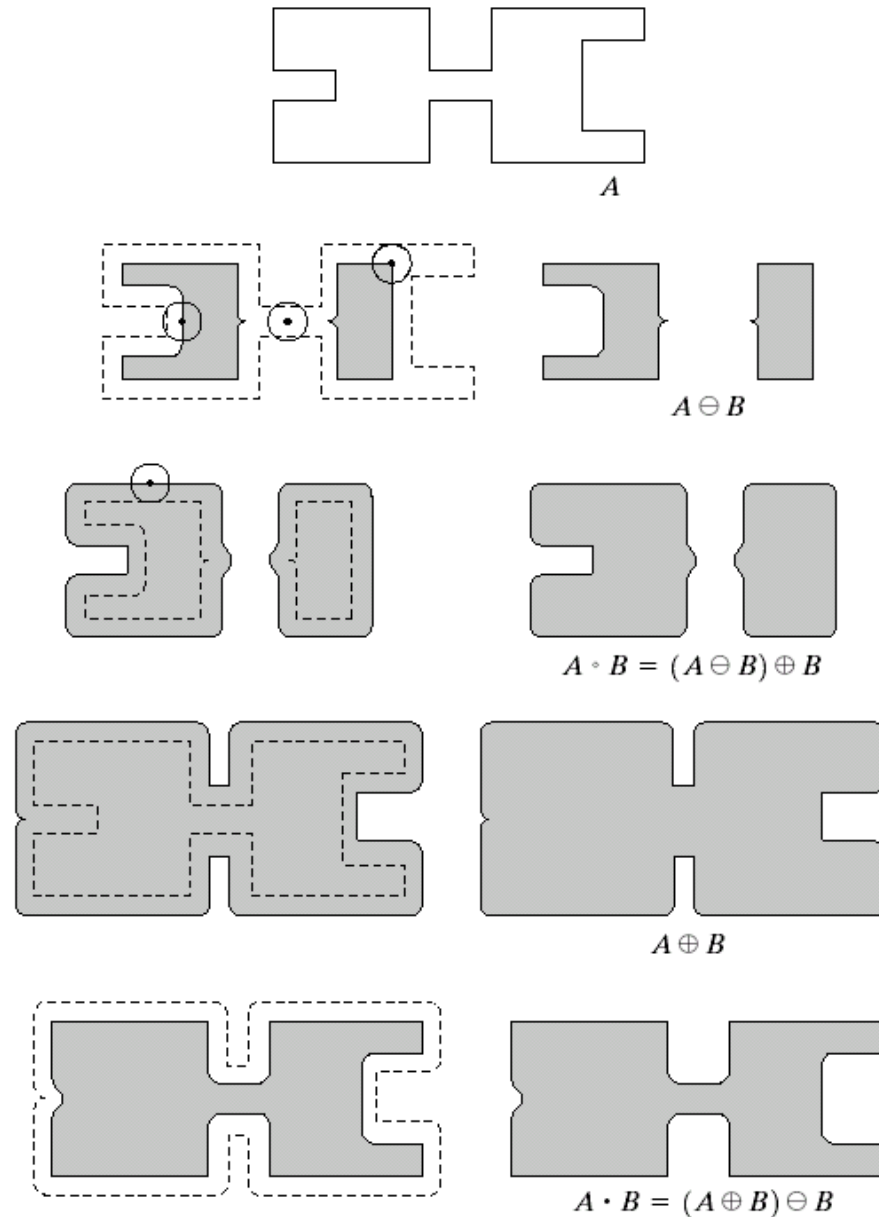
FIGURE 9.7 (a) Image of squares of size 1, 3, 5, 7, 9, and 15 pixels on the side. (b) Erosion of (a) with a square structuring element of 1's, 13 pixels on the side. (c) Dilation of (b) with the same structuring element.

Erosione + Dilatazione: NON SONO UNA L'INVERSO DELL'ALTRA

| |
|-----|
| a |
| b c |
| d e |
| f g |
| h i |

FIGURE 9.10

Morphological opening and closing. The structuring element is the small circle shown in various positions in (b). The dark dot is the center of the structuring element.



$$\mathbf{B} = \mathbf{N}_8 = \begin{bmatrix} 1 & 1 & 1 \\ 1 & 1 & 1 \\ 1 & 1 & 1 \end{bmatrix}$$

(a)

$$\mathbf{B}_1 = \begin{bmatrix} - & - & - \\ - & 1 & - \\ - & - & - \end{bmatrix}$$

(b)

$$\mathbf{B}_2 = \begin{bmatrix} - & 1 & - \\ 1 & - & 1 \\ - & 1 & - \end{bmatrix}$$

(c)

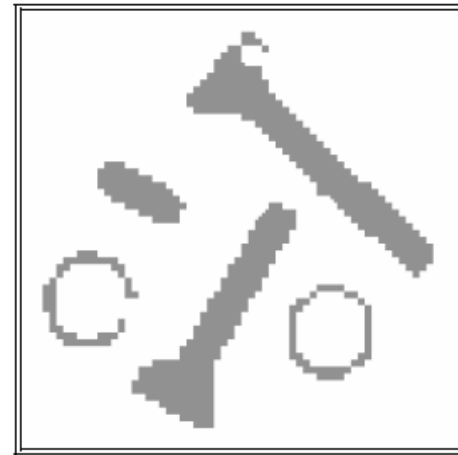
Figure 40: Structuring elements \mathbf{B} , \mathbf{B}_1 , and \mathbf{B}_2 that are 3×3 and symmetric.



a) Image A



b) *Dilation* with $2\mathbf{B}$



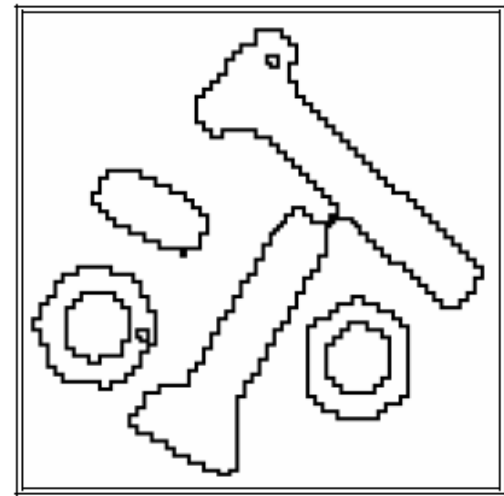
c) *Erosion* with $2\mathbf{B}$



d) *Opening with $2B$*



e) *Closing with $2B$*



f) *8-c contour: $A - E(A, N_8)$*

$$A \circ B = (A \ominus B) \oplus B. \quad \text{Operazione di opening}$$

$$A \bullet B = (A \oplus B) \ominus B. \quad \text{Operazione di closing}$$